

FIG. 1

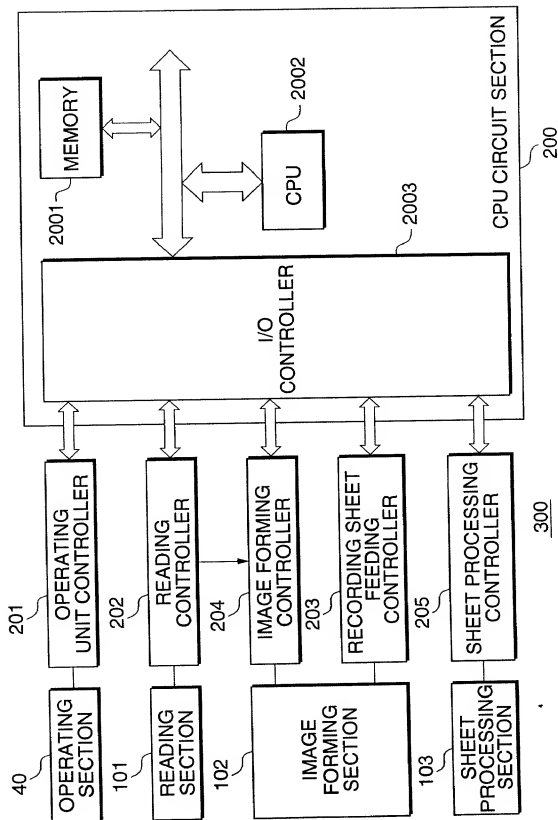
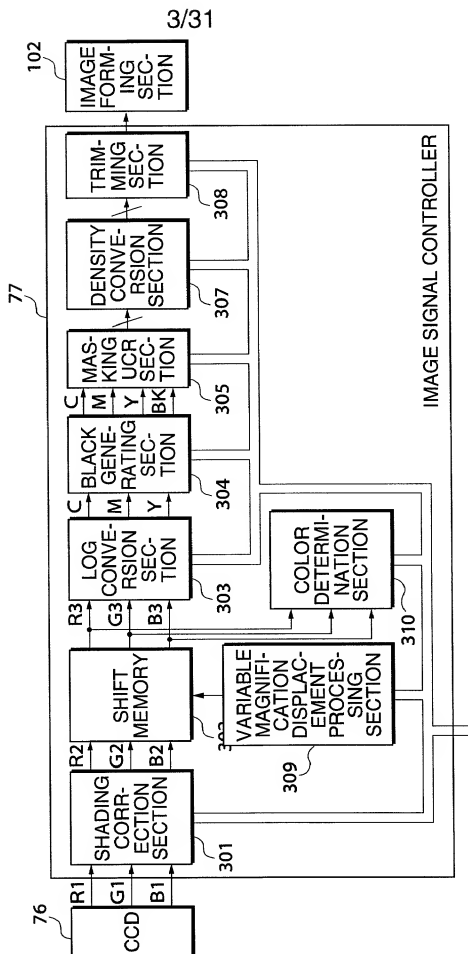


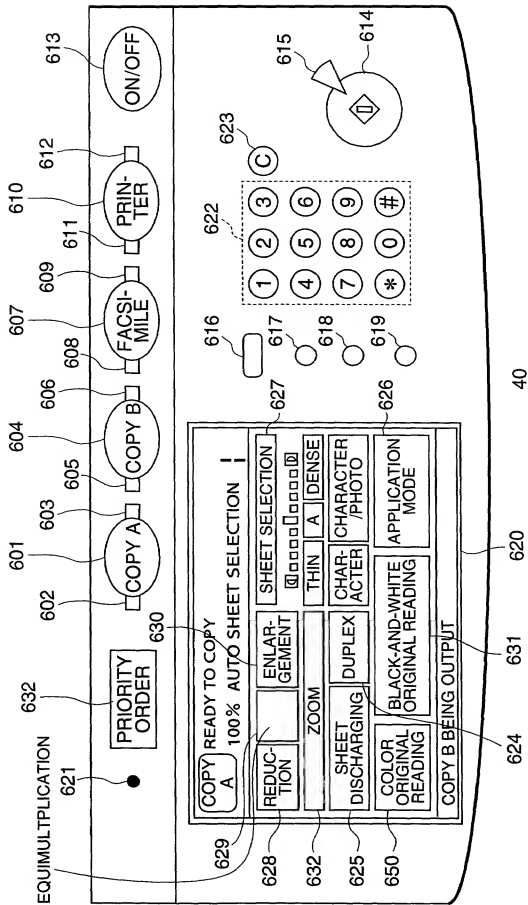


FIG. 3



4/31

FIG. 4



+

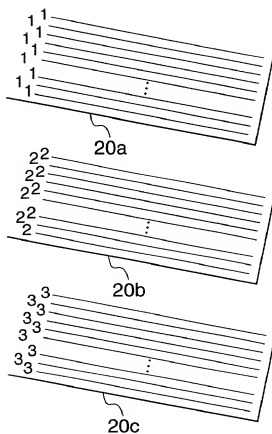


40

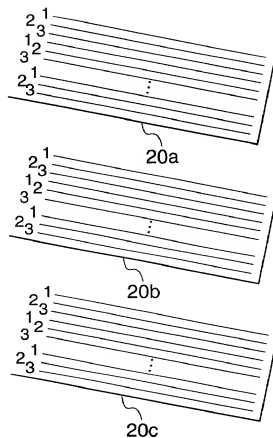


**FIG. 7A**

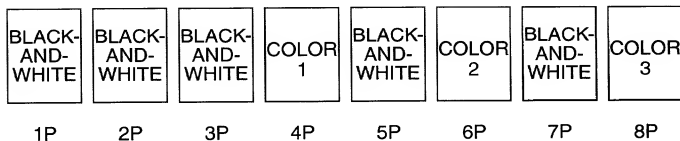
S-STACKING MODE

**FIG. 7B**

F-STACKING MODE

**FIG. 7C**

ORIGINAL



+

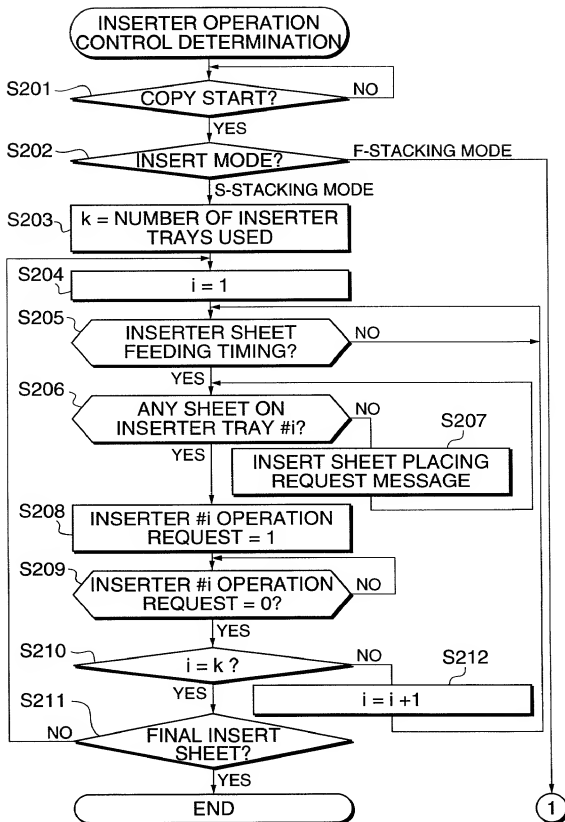
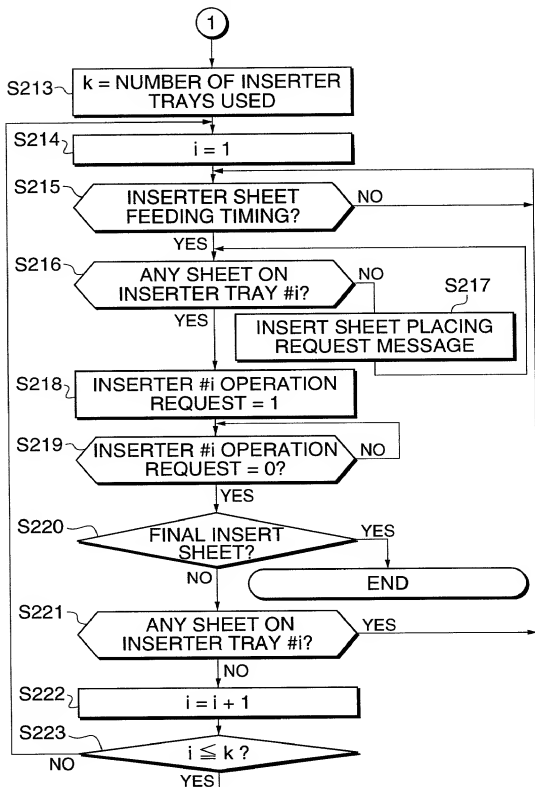




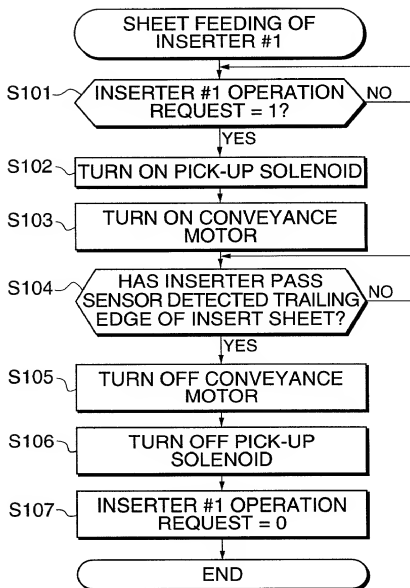
FIG. 9



09737280-121500

10/31

**FIG. 10**



09737280.121500

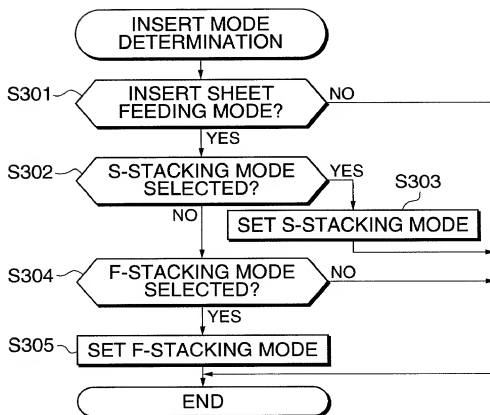
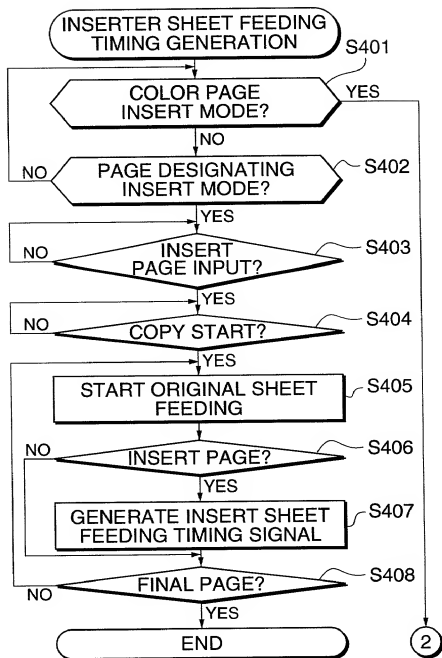
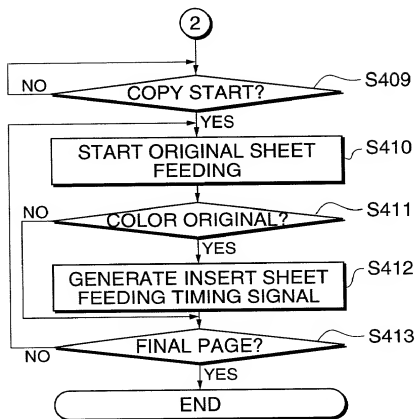
**FIG. 11**

FIG. 12



**FIG. 13**

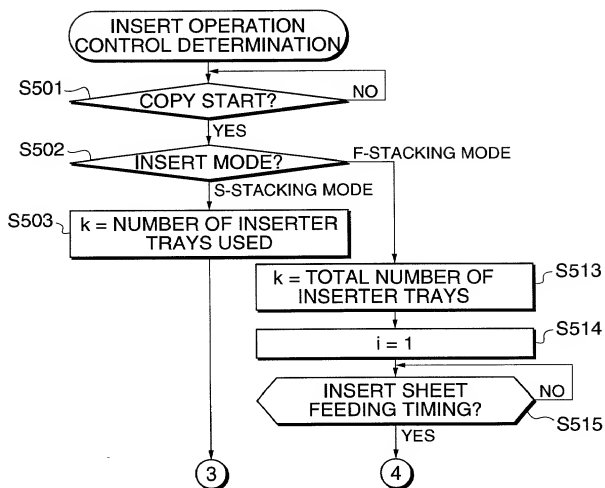
**FIG. 14**

FIG. 15

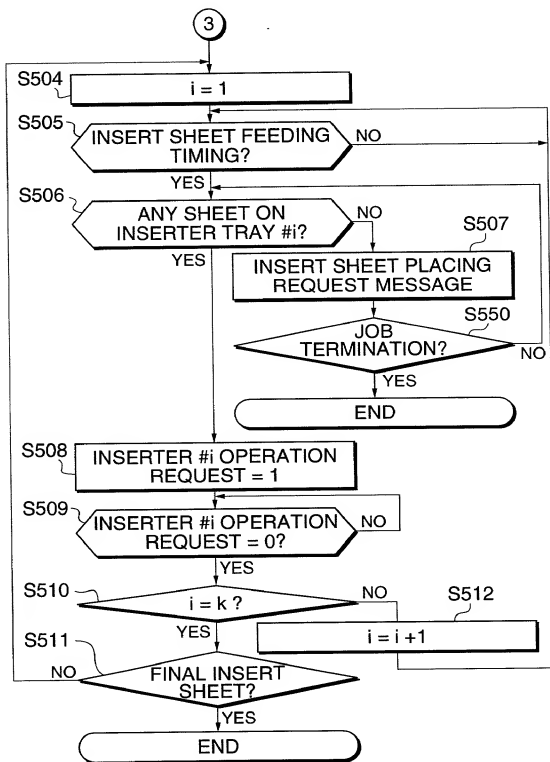
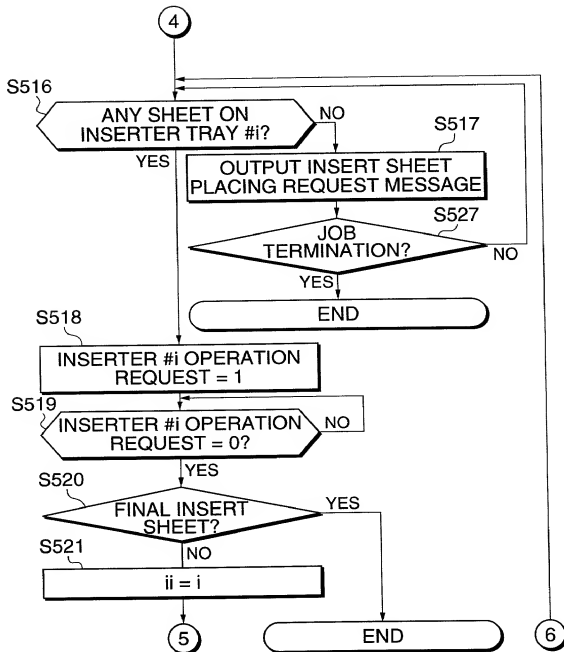


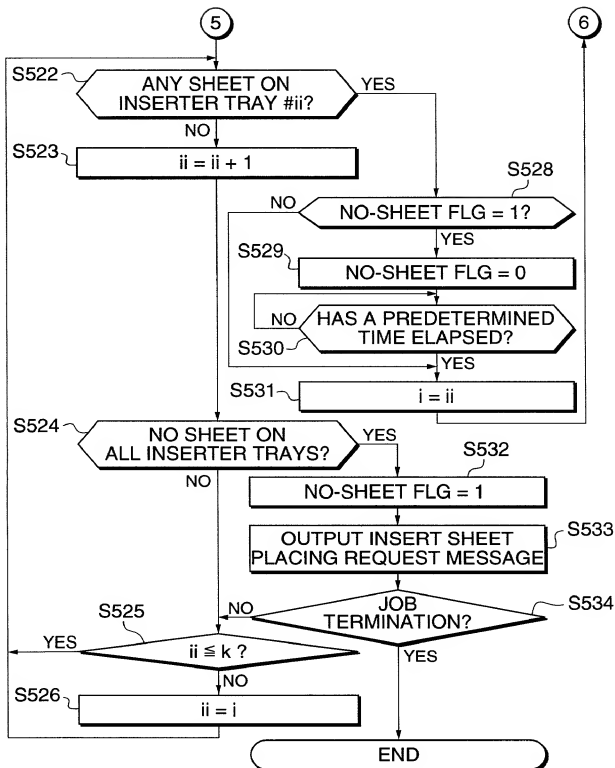
FIG. 16



09737289.121500



FIG. 17



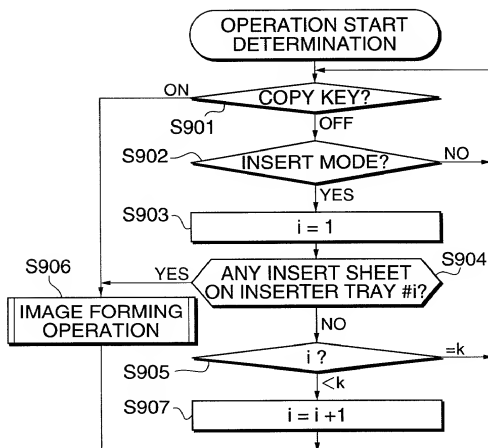
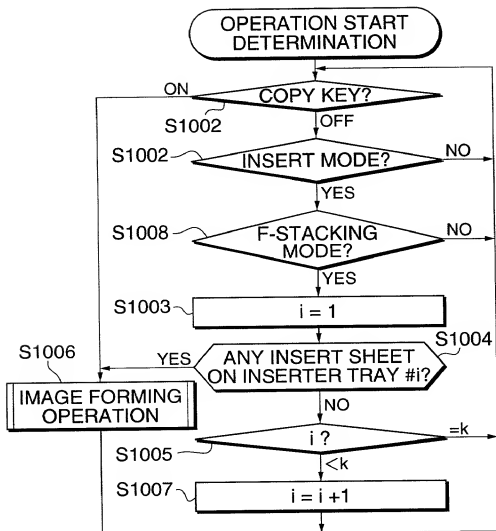
**FIG. 18**

FIG. 19



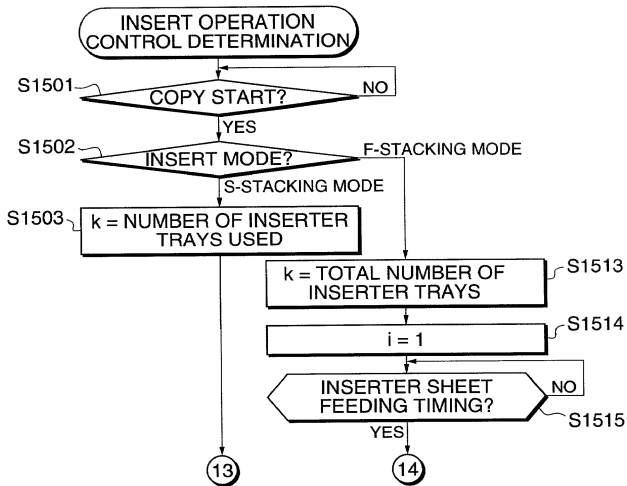
**FIG. 20**

FIG. 21

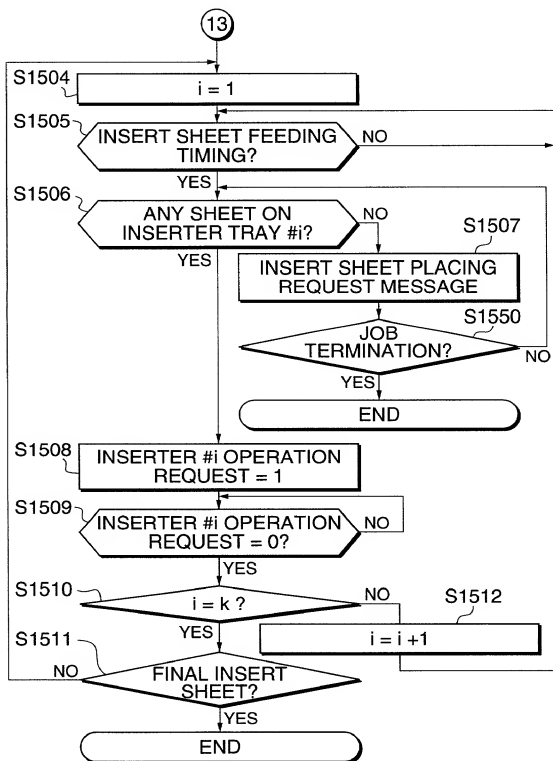


FIG. 22

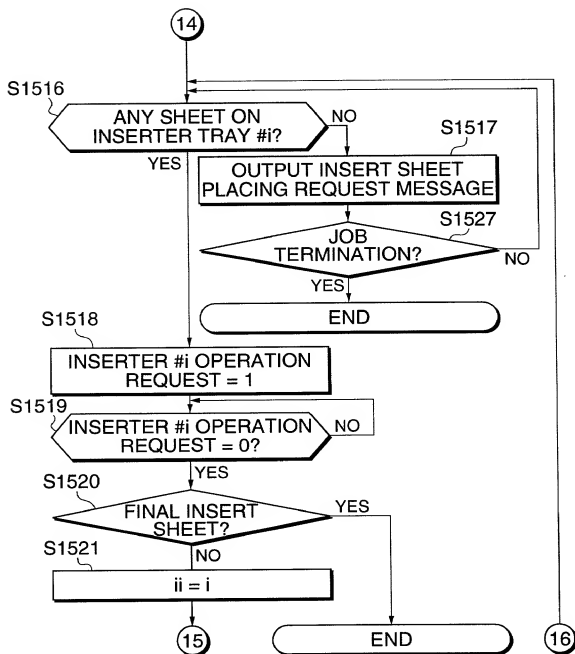


FIG. 23

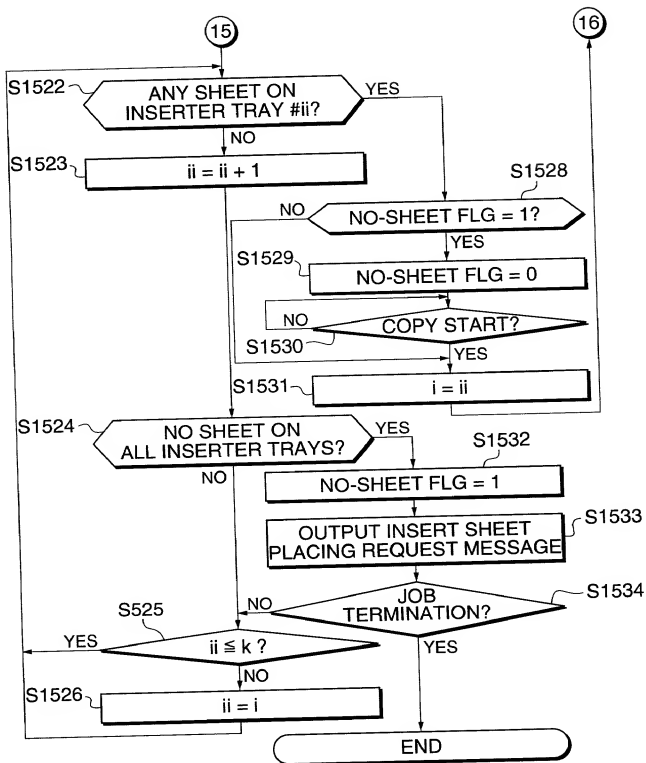


FIG. 24

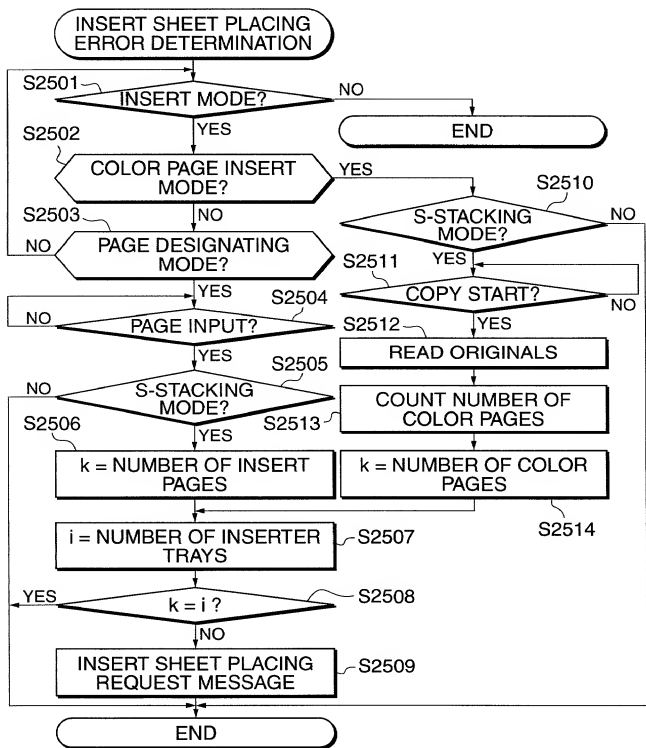
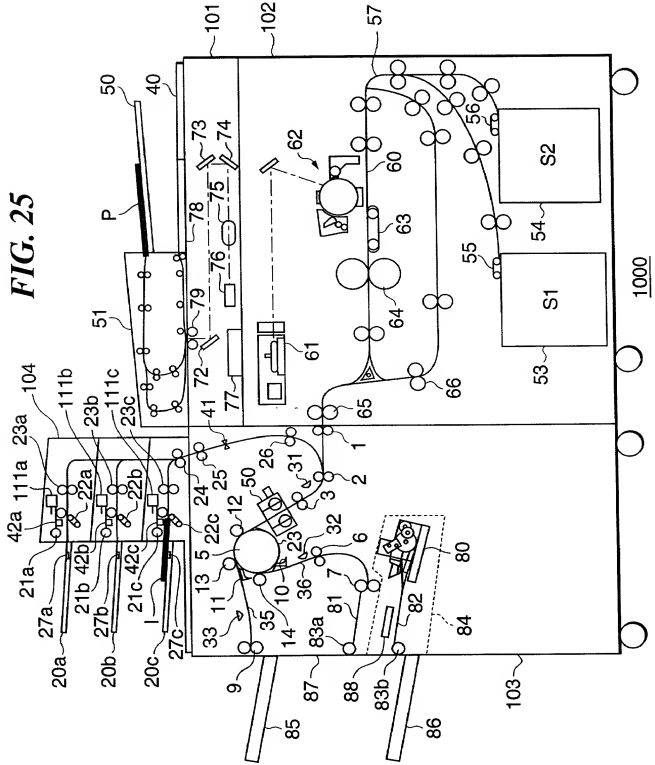
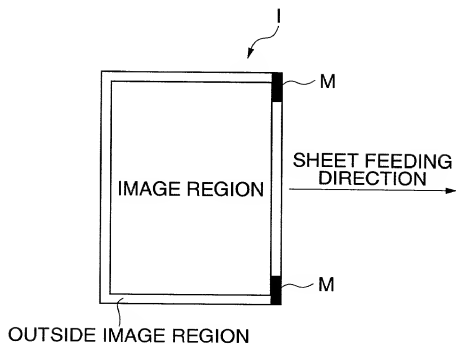




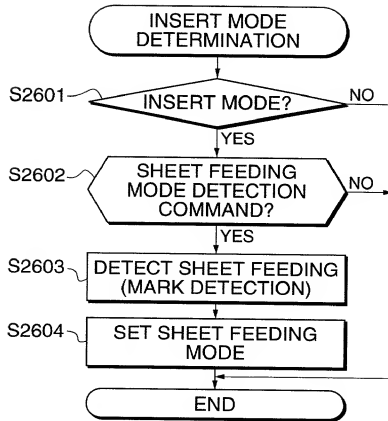
FIG. 25

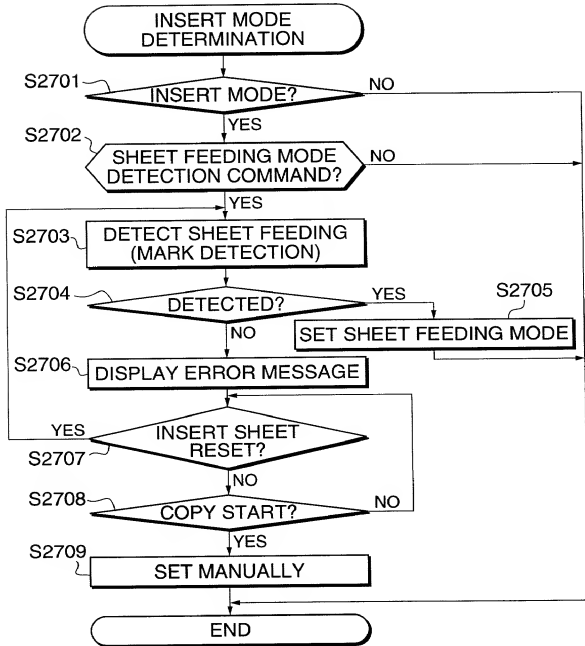


**FIG. 26**

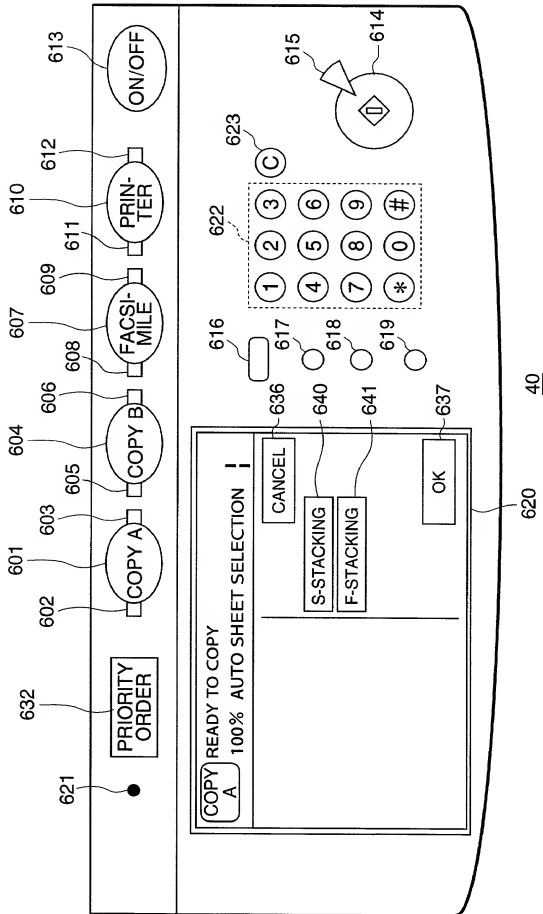


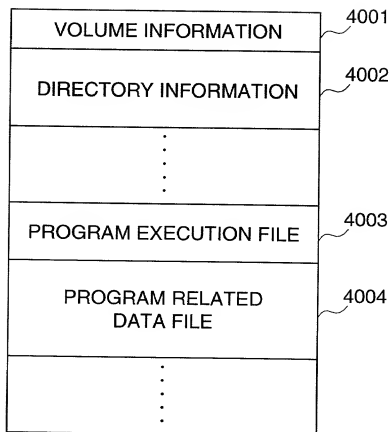
09737280.121500

**FIG. 27**

**FIG. 28**

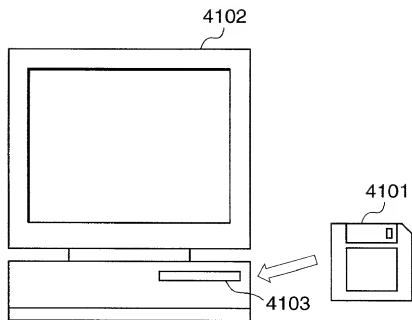
**FIG. 29**



**FIG. 30**

005121-0326260

**FIG. 31**



00927280 121500